

제조방법에 따른 MnO_2 coating 전극의 전기화학적 특성

김현식¹, 이해연¹, 허정섭¹, 안용운¹, 김종령², 박혜영³
 '(주)매트론 기술연구소, ¹'경남대학교 신소재공학부, ²'경성대학교 재료공학과

Electrochemical Characteristics of MnO_2 coated electrodes as a function of manufacturing method

Hyun-Sik Kim¹, Hae-Yon Lee¹, Jeong-Seob Huh¹, Yong-Woon An¹, Jong-Ryung Kim², Hye-young Park³
 'MATTRON Co., Ltd. R&D Center, ¹'Kyungnam Univ., ²'Kyungsung Univ.

Abstract - 산소 과전압이 낮은 MnO_2 를 촉매로 사용하여 반도체 산화물계의 산소선택성 전극을 제조하고 산화물 코팅층의 미세구조와 전기화학적 특성을 분석하였다. Ti 기판에 열분해 법을 이용하여 MnO_2 피막을 형성하였고, 또한 binder를 이용한 코팅 방법을 이용하여 Ti, Pb 기판에 MnO_2 코팅층을 형성하였다. 450°C에서 1시간 열분해하여 약 1 μm 의 MnO_2 피막층을 형성시켰으나 Ti 기판과의 접착력이 약하여 피막자체에 대한 전기화학적 특성은 관찰할 수 없었다. PVDF : MnO_2 의 함량비가 1:1에서 1:6 까지는 DMF의 함량에 무관하게 전극 특성이 나타나지 않았지만 20:1 이상의 조성에서는 균일한 C-V 특성을 나타냈고, 산소 발생 과전압도 약 1.4V 정도로 감소되었다. 그러나 Ti 기판의 경우 열분해법을 이용하여 제조된 전극과 같이 낮은 기판과의 접착력 때문에 MnO_2 피막층의 촉매효과가 현저하게 감소하였다.

1. 서 론

비철금속 제련용 또는 폐수 처리용으로 사용되고 있는 전극은 Ti계 전극과 Pb계 전극이 주종을 이루고 있다. 이러한 전극은 전극제조시의 경제성은 우수하지만, 효율이 낮고, 수명이 짧은 단점 가지고 있다. 최근에 Dimensionally Stable Anode (DSA)라고 불리는 일련의 산소선택성 전극이 개발되고 있는데, 이들은 전극의 수명을 떨어뜨리는 주원인이 되는 염소가스의 발생 대신 과전압이 낮은 산소가스를 발생시키므로 염소가스에 의한 금속 기판의 pitting 현상을 방지하여 전극의 수명을 연장시킬 수 있으며, 낮은 전압에서 비철금속의 전해가 이루어지기 때문에 에너지 효율이 좋다.[1-6]

따라서 본 논문은 산소 과전압이 낮은 이산화망간(MnO_2)을 촉매로 사용하고, 전극 형성을 위해 Ti, Pb 기판에 일반적인 DSA 전극 제조방법인 열분해법과 제조공정 단순화와 전극의 경제성 확보를 위해서 유기 binder를 이용한 dipping 방법으로 열처리 공정을 배제할 수 있는 저가격, 에너지 절약형의 반도체 산화물계의 산소선택성 전극을 제조하여, 황산 수용액에서의 전기화학적 특성을 비교 조사하였다.

2. 실험방법

0.5 M HF, 80°C의 10 M H_2SO_4 용액에 Ti 기판 표면을 세척하고 예열한 후 전극의 화학적 안정성을 높이기 위해서 0.2 M $H_2IrCl_6 \cdot 6H_2O$ 용액을 dipping 방식으로 3회 코팅하고 450°C / 1시간 열분해하여 IrO_2 피막층을 형성시켰다. IrO_2 피막층이 형성된 Ti 전극 위에 MnO_2 산화물 층이 코팅된 산소선택성 전극을 제조하기 위해서 0.2 M $Mn(NO_3)_2 \cdot 6H_2O$ 용액에 20회 dipping하고 450°C / 1시간 열처리하여 전극을 제조하였다. 또한 Ti, Pb 기판에 binder를 이용한 MnO_2 코팅전극을 제조하기 위해서 유기 binder인 PVDF (Poly Vinylidene Fluoride) : MnO_2 함량

비를 1 : 1에서 1 : 40까지 정량적으로 변화시키고 용제의 점도에 지배적인 영향을 미치는 DMF (Dimethyl formamide)의 함량을 각각의 고정된 PVDF : MnO_2 의 함량비에서 변화시켜 용제를 제조하였다.

제조한 용제에 dipping 방법을 이용하여 1.5 mm/sec의 속도로 5회 코팅하고 80°C 대기중에서 건조시켜 전극을 제조하였다. 주사전자현미경을 이용하여 제조된 전극의 미세구조를 분석하였고, 전기화학적 특성을 파악하기 위해 Potentiostat를 사용하여 cyclic voltammetry를 측정하였다. X-선 회절분석기를 이용하여 결정상을 분석하였고, EDS를 이용하여 산화물 층을 정성분석하였다.

3. 결과 및 고찰

Binder를 이용한 방법으로 제조된 Pb 기판 MnO_2 코팅전극의 전자현미경 사진을 그림 1에 나타냈다. PVDF : MnO_2 = 1 : 6인 경우의 DMF 함량 변화에 따른 MnO_2 코팅 두께를 나타낸 것으로써 PVDF의 양이 증가하고 DMF의 양이 감소할수록 피막층이 두꺼워지고 이것은 PVDF : MnO_2 함량비에 무관하게 동일하였다. PVDF : DMF = 4 : 96인 그림 1-(a)의 경우 Pb 전극의 피막층이 너무 얇기 때문에 박리현상이 발생하였으며 이는 산화물 용제의 낮은 점도 때문인 것으로 판단된다. 그림 1-(d)의 PVDF : DMF = 10 : 90의 조성에서 약 150 μm 의 가장 두꺼운 피막층이 형성되었다. 이것은 PVDF의 양이 증가하고 DMF의 양이 감소 할수록 용제의 점도가 증가하기 때문에 MnO_2 피막층의 두께가 급속하게 증가한 것으로 생각된다.

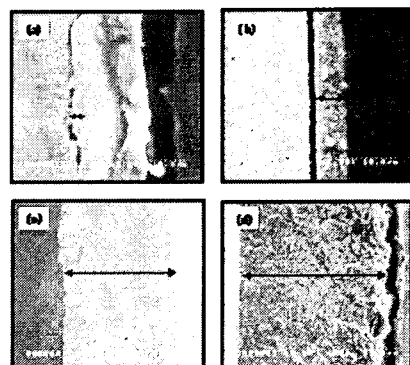


그림 1. DMF 함량에 따른 Pb 기판 MnO_2 코팅 전극의 미세구조
 (PVDF : DMF = (a) 496, (b) 694, (c) 892, (d) 1090).

PVDF : MnO_2 의 함량비가 1:1에서 1:6 까지는 DMF의 함량에 무관하게 전극 특성이 나타나지 않았는데 이는 polymer인 PVDF의 함량이 높아서 MnO_2 의

촉매역할이 저하되었기 때문인 것으로 판단된다. 그러나 PVDF: $MnO_2 = 1:8$ 인 경우부터 전극특성이 나타났으며, MnO_2 함량에 따른 Pb 전극의 C-V 특성을 그림 2에 나타냈다. -2.0~2.0V의 범위에서 10 mV/sec의 scan rate로 1N H_2SO_4 수용액에서 얻어진 결과이며 사용된 참조 전극은 포화 칼로멜 전극 (SCE, $E_0=0.280$ V)이고, 반응 면적은 1 cm²로 하였다. 각 피크에서의 전류의 크기는 MnO_2 의 양이 증가함수록 증가하였는데, 이것은 각 반응에 대하여 전극 표면에서의 MnO_2 상대 면적이 증가하게 되면 반응이 효과적으로 진행됨을 알 수 있다. 즉 전극이 순수 Pb로 되어 있는 경우에는 각 반응에 대한 전류 값도 제한적이고 또한 anodic polarization에 의한 산소의 발생 과전압도 약 2.1V 이상에서 시작하지만, MnO_2 가 피막되어 있는 경우에는 각 반응에 대한 전류 값이 크게 증가하였다. 이것은 각 반응에 대한 반응속도가 증가하였음을 의미하는 것으로 MnO_2 가 효과적으로 촉매 작용을 한 것으로 판단된다. 또한 anodic polarization에 의한 산소 발생과 전압도 약 1.4V 정도로 감소되었음을 알 수 있다.

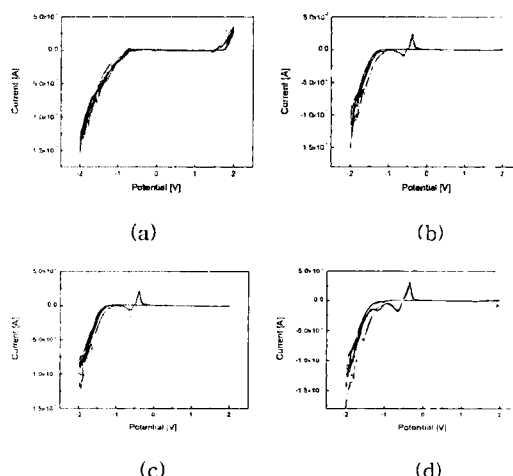


그림 2. MnO_2 함량에 따른 Pb 전극의 cyclic voltammograms
(PVDF : DMF : MnO_2 = (a) 1:30:20, (b) 1:37.5:25,
(c) 1:45:30, (d) 1:60:40).

그림 3에 MnO_2 가 코팅된 Ti 전극을 450°C에서 1시간 열분해 한 후의 X-선 회절 분석 결과를 나타냈다. MnO_2 피크를 관찰할 수 있으며 MnO_2 뿐만 아니라 Ti에 대한 피크도 다수 관찰되었다. 이것은 Ti 기판위에 코팅된 MnO_2 층이 균일하지 않고 또한 두께가 너무 얕기 때문에 MnO_2 와 Ti의 피크가 동시에 나타난 것으로 판단된다. 또한 Ti 기판위에 코팅된 IrO_2 는 극소량이기 때문에 X-ray 회절 분석으로는 나타나지 않은 것으로 사료된다.

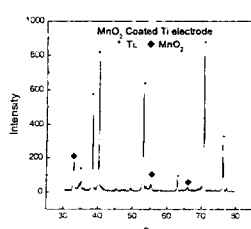


그림 3. MnO_2 코팅된 Ti 전극의 X-선 회절분석.

그림 4는 Ti 기판을 예열한 후와 IrO_2 층이 형성된 후의 표면 미세구조 사진이다. 그림 4-(a)의 예열된 Ti 기판은 별집 모양의 표면을 가지고 있으며 IrO_2 가 코팅된 그림 4-(b)의 미세구조와 큰 차이가 없는 것을 볼 수 있다. 그러나 그림 5의 EDS 정성 분석결과에서 Ti 기판위에 IrO_2 피막층이 형성되어 있는 것을 확인할 수 있다. 이것은 형성된 IrO_2 피막층의 두께가 너무 얕기 때문에 미세구조 사진을 통해서는 확인할 수 없는 것으로 판단된다.

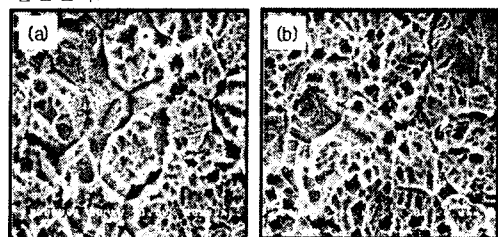


그림 4. Ti 기판의 미세구조 사진:
(a) 세척 및 예열후, (b) IrO_2 코팅후.

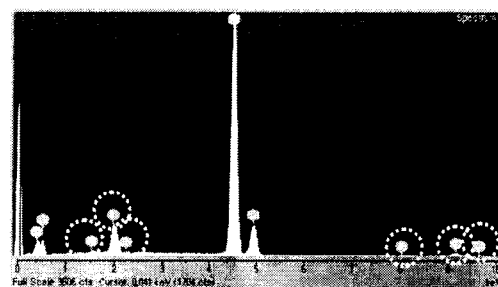


그림 5. IrO_2 가 코팅된 Ti 기판의 EDS 분석결과.

그림 6은 0.2 M $Mn(NO_3)_2 \cdot 6H_2O$ 용액에 20회 dipping하고 450°C에서 1시간 열분해 된 Ti 기판 MnO_2 코팅 전극의 미세구조 사진을 나타낸 것이다. 그림 4와 비교했을 때 전극 표면에 MnO_2 가 코팅되어 입체와 별집형상의 Ti 표면 미세구조가 변화된 것을 그림 6-(a)에서 볼 수 있으며, 약 1 μm의 얕은 MnO_2 코팅 층이 불균일하게 형성되어 있는 것을 그림 6-(b)의 횡단면 사진에서 확인할 수 있다. MnO_2 코팅 층이 얕은 것은 0.2M의 너무 낮은 농도의 $Mn(NO_3)_2 \cdot 6H_2O$ 용액을 사용하여 점도가 낮기 때문인 것으로 판단되며, 얕고 불균일한 MnO_2 코팅층 때문에 그림 3의 결과와 같이 Ti 기판과 MnO_2 산화물 층의 피크가 동시에 나타난 것으로써 전극의 전기화학적 특성을 저하시킬 것으로 생각된다.

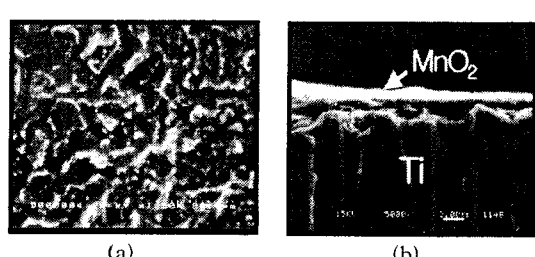


그림 6. MnO_2 가 코팅된 Ti 전극의 미세구조 사진:
(a) 전극표면, (b) 전극의 횡단면.

그림 7에 450 °C에서 1시간 열분해된 Ti 기판 MnO₂ 코팅 전극의 C-V(Cyclic Voltammetry) 특성을 나타냈다. Ti 기판위에 열분해되어 형성된 MnO₂ 산화물은 그림 6의 결과와 같이 너무 얇고 불균일 하기 때문에 Ti 기판과 접착력이 약하여 C-V 실험 중에 대부분이 박리되어, 퍼막 자체에 대한 C-V 특성은 관찰할 수 없었다. 따라서 Ti를 기판 MnO₂ 코팅전극의 경우 접착력 개선이 반드시 필요한 것으로 생각된다.

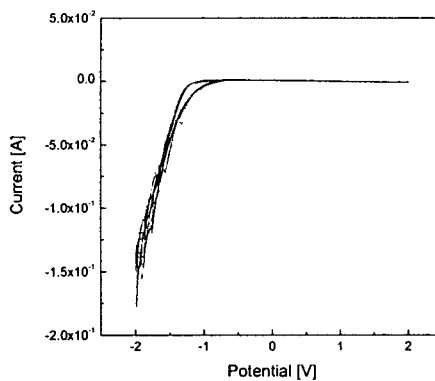


그림 7. MnO₂가 코팅된 Ti 전극의 1N H₂SO₄에 대한 cyclic voltammogram.

Ti 기판 MnO₂ 코팅 전극의 경우 Pb 기판 MnO₂ 코팅 전극의 C-V 특성과 비교했을 때 산화 환원 반응 피크가 현저히 감소했는데, 이는 그림 8의 C-V를 5회 실험한 후의 전극 표면 사진에서 볼 수 있듯이 Ti 기판 MnO₂ 코팅 전극의 경우는 퍼막된 MnO₂ + PVDF 퍼막층이 C-V가 진행됨에 따라 박리가 일어나서 MnO₂의 촉매효과를 기대할 수 없기 때문인 것으로 판단된다. 따라서 Ti 기판 위에 PVDF를 이용해서 MnO₂를 코팅시키기 위해서는 Ti 표면에서 접착력의 개선이 반드시 필요할 것으로 생각된다.

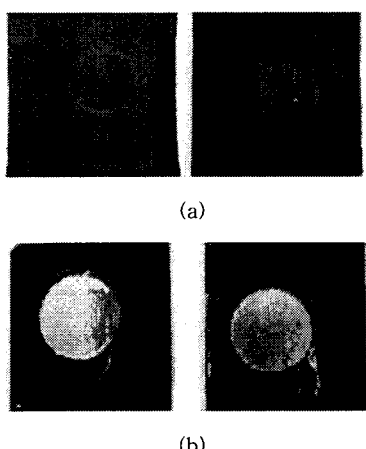


그림 8. 5회 C V 후의 MnO₂ 코팅 전극:
(a) Pb, (b) Ti 기판.

4. 결 론

비철금속의 전해 채취용 산소 선택성 전극을 개발하기 위해서 Ti, Pb 기판에 MnO₂ 표면 코팅형 복합재료 전극을 제조하고 전기화학적 특성을 분석한 결과 다음과 같은 결론을 얻었다.

1. 기존의 순수 Pb 전극의 경우에는 각 반응에 대한 전류 값이 제한적이고 anodic polarization에 의한 산소의 발생 과전압도 약 2.1V 이상에서 시작하지만, binder를 이용한 코팅 방법으로 MnO₂를 형성한 경우에는 각 반응에 대한 전류 값이 크게 증가하였고, anodic polarization에 의한 산소 발생 과전압도 약 1.4V 정도로 상당히 감소하여 실제 비철금속 제련용 전해 용액에서도 높은 에너지 효율 특성을 발휘할 것으로 판단된다.

2. PVDF : MnO₂ = 1 : 6인 경우 PVDF의 양이 증가하고 DMF의 양이 감소할수록 높은 접착력 때문에 퍼막층이 두꺼워지고 PVDF : DMF = 10 : 90의 경우는 5회 dipping 하여 약 150 μm의 퍼막층을 형성하였다.

3. Ti 전극에 열분해법으로 약 1 μm 두께의 MnO₂ 산화물 층이 형성되었으나 전극과의 접착력이 약하여 퍼막 자체에 대한 C-V 특성은 관찰할 수 없었다.

4. 도전성 플라스틱 binder를 이용한 dipping 방법으로 제조된 전극은 DSA 전극 제조를 위해 일반적으로 이용되고 있는 열분해법으로 제조된 전극에 비해서 MnO₂ 산화물 층의 두께 조절이 용의하며 우수한 전극 특성을 나타내었다.

[참 고 문 헌]

- [1] 김현식, 이해연, 허정섭, 김봉서, 이동윤, “비철금속 제련용 DSA 재료의 전기화학적 특성”, 한국전기전자재료학회 2002 추계학술대회 논문집, p. 313, 2002.
- [2] S. Nijjer, J. Thonstad, and G. M. Haarberg, "Cyclic and linear voltammetry on Ti/IrO₂ Ta₂O₅ MnO_x electrodes in sulfuric acid containing Mn²⁺ ions", Electrochimica Acta, Vol. 46, P. 3503, 2001.
- [3] R. Otogawa, M. Morimitsu, and M. Matsunaga "Effects of microstructure of IrO₂ based anodes on electrocatalytic properties", Electrochimica Acta, Vol. 44, P. 1509, 1998.
- [4] S. Trasatti, "Electrocatalysis : understanding the success of DSA", Electrochimica Acta, Vol. 45, P. 2377, 2000.
- [5] C. Cominellis and G. P. Vercesi, "Characterization of dsa type oxygen evolving electrodes choice of a coating", J. of APP. Electrochemistry, Vol. 21, p. 335, 1991.
- [6] Bouzid Messaoudi, Suzanne Joiret, Michel Keddam, and Hisasi Takenouti, "Anodic behaviour of manganese in alkaline medium", Electrochimica Acta, Vol. 46, P. 2487, 2001.